

II - 1 横荷重を受ける部材の弾塑性座屈について

九州大学 教授 山崎徳也
九州大学 大学院 ○遠木昭正

概要 横荷重を受け軸方向に圧縮された部材の設計は鉄骨構造において偏心圧縮材の設計と同様に極めて重要な問題である。偏心圧縮材が安定問題に属するということを初めて示したのは Kármán である。すなはち真の耐力いやゆる座屈荷重は最大緯応力が降伏応力に達するときの荷重ではなく、材軸のたわみが安定状態から不安定状態に移るとその荷重で与えられるということを提案した。その後 J. E. Ziegler は Kármán の理論に基づき材料の応力-歪線を図-1 ごとく理想化してこの問題に対する厳密解および近似解を求めたがさらに横荷重を伴う部材の安定問題にまで拡張し横荷重をうけ軸方向に圧縮される矩形断面の単純支持部材に対してこの軸傾いたたわみ形を仮定することにより境界条件を省略し近似解を提案し、厳密解と極めて良く合致することを立証しているが、横荷重と軸荷重の比が常に一定であるという仮定が含まれてあり一般性に欠ける難点が残存している。したがって著者等は実際的な問題を包含しうることと一般化し、任意の横荷重の影響を考慮した部材の安定問題を論じて真の耐力を求めその結果を实用に便ならしめるごとく図表化した。

なお本研究では J. E. Ziegler と同じく次り仮定を採用した。

- (a) 材料はすべて完全塑性体とし応力-歪線は図-1 ごとく表わされる。
- (b) 両端単純支持矩形等断面直線材を取扱う。
- (c) Navier の平面保持の法則が成立するものとする。

I. 基本的考察

図-2 に示すスパン l で $b \times h$ の矩形断面の単純支持部材が軸荷重 P および等分布横荷重 w を受けたとき断面上に生ずる応力分布には次り三種類がある。すなはち応力が最大になる中央断面 ($X=0/2$) について考察すれば、 P, w の値が小さく圧縮および引張の緯応力 σ_1, σ_2 が共に降伏応力 σ_y 以下のときは弾性状態を応力状態 A と名付ける。次に荷重が次第に増してまことに圧縮縁に降伏領域が発生する状態を応力状態 B とする。さらに荷重が増すれば引張縁にも降伏領域が生じこれを応力状態 C と名付ける。いま各応力状態に対する曲率 $1/P$ と軸荷重の関係を求めれば以下のごとくである。

(1) 応力状態 A ($\sigma_1, \sigma_2 < \sigma_y$ 図-3 参照)

$$\text{内力と外力の釣合より } \int_A \sigma dA = P, \int_A \sigma u dA = M \quad (1)$$

式(1)より中立軸の位置 h_1, h_2 および緯応力 σ_1, σ_2 が求まり曲率とモーメンティク関係は次式となる。

$$\frac{1}{P} = \frac{d^2y}{dx^2} = -\frac{12M}{b^3E} \quad (2)$$

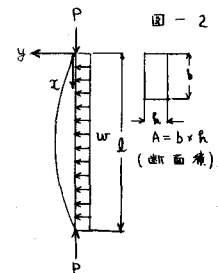
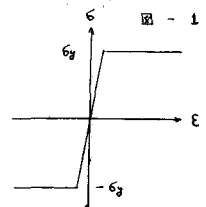
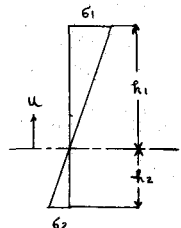


図-3



(2) 応力状態B ($\sigma_1 = \sigma_y$, $\sigma_2 \leq \sigma_y$ 図-4 参照)

同じく約合条件式より降伏領域E中立軸の位置 a_1 および曲率は次式となる。

$$e_1 = \frac{3M}{bh(\sigma_y - \sigma_0)} - \frac{h}{2}$$

$$t_1 = \frac{9h}{8(\sigma_y - \sigma_0)^3} \left[(\sigma_y - \sigma_0) - 2M/bh^2 \right]^2 \sigma_y \quad (3)$$

$$\frac{1}{\rho} = \frac{d^2y}{dx^2} = -\frac{\sigma_y}{E} = -\frac{8(\sigma_y - \sigma_0)^3}{9Eh[(\sigma_y - \sigma_0) - 2M/bh^2]^2} \quad (4)$$

部材の中央卓の圧縮線が降伏するとき ($\sigma_1 = \sigma_y$) の限界たわみ δ_1 は

$$c_1 = 0 \text{ より } y_1 = \frac{h}{6} \left(\frac{\sigma_y}{\sigma_0} - 1 - \frac{3f\sigma_y}{\sigma_0} \right) \quad (5)$$

ここに $f = \omega/\omega_0$, $\omega_0 = 16bh^3/\lambda^2$: 荷分布横荷重のみによって部材の中央卓が降伏するときのいわゆる降伏荷重を表す

同じく中央卓の引張線が降伏するとき ($\sigma_2 = \sigma_y$) の限界たわみ δ_2 は $\delta_2 = t_1$ より

$$y_2 = \frac{h}{6} \left\{ \left(\frac{\sigma_y}{\sigma_0} - 1 \right) \left(\frac{2\sigma_0}{\sigma_y} + 1 \right) - \frac{f\sigma_y}{\sigma_0} \right\} \quad (6)$$

(3) 応力状態C ($\sigma_1 = \sigma_2 = \sigma_y$ 図-5 参照)

約合条件式より中立軸の位置および曲率は次式となる。

$$t_2 = h \sqrt{\frac{3}{4} \left(1 - \frac{\sigma_0^2}{\sigma_y^2} \right) - \frac{3M}{bh^2\sigma_y}} \quad (7)$$

$$\frac{1}{\rho} = \frac{d^2y}{dx^2} = -\frac{\sigma_y}{Eh} \sqrt{\frac{3}{4} \left(1 - \frac{\sigma_0^2}{\sigma_y^2} \right) - \frac{3M}{bh^2\sigma_y}} \quad (8)$$

この応力状態において可能な最大たわみ δ_2 は $\delta_2 = 0$ より

$$y_2 = \frac{h}{4} \left\{ \left(1 + \frac{\sigma_0}{\sigma_y} \right) \left(\frac{\sigma_y}{\sigma_0} - 1 \right) - \frac{2f\sigma_y}{3\sigma_0} \right\} \quad (9)$$

II. 限界軸応力の決定

一般に完全塑性体が図-2のような荷重を受けたとき部材中央卓のたわみ δ_m と軸応力 σ_0 の関係は図-6のごとくなり頂点Cの応力が限界軸応力 σ_c と見え理論的には $d\sigma_0/d\delta_m = 0$ で決定しうることが分る。

いま軸線のたわみを正弦函数で近似すれば σ_0 と δ_m の関係式を各応力状態に対してそれそれ以下のごとく簡単に求めうる。すなむち

$$y = y_m \sin \frac{\pi x}{l} \quad (10)$$

$$\text{中央卓の曲率は } \frac{1}{\rho_m} = \left[\frac{d^2y}{dx^2} \right]_{x=\frac{l}{2}} = -\frac{\pi^2}{l^2} y_m \quad (11)$$

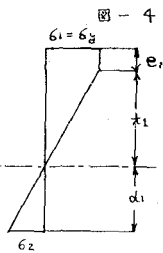


図-4

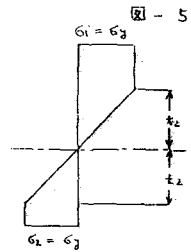


図-5

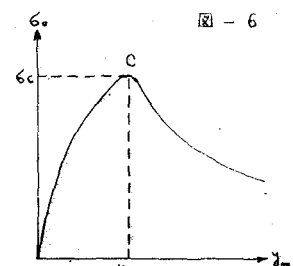


図-6

(1) 応力状態 A

式(2)と式(11)を等置し $M = P y_m + W l^2 / 8$ の関係を考慮すれば

$$y_m = \frac{f \lambda^2 \delta_y h}{2(E \pi^2 - \lambda^2 \delta_0)} \quad (12)$$

しかるに上式は $0 < \delta_0 \leq \delta_p < E \pi^2 / \lambda^2$ (ただし δ_p は式-(18)で表わされる弾性限界時の継応力を示す) の範囲では δ_0 に因する単調増加函数であるから極値は存在しえずかかる状態における限界応力はありえないとわかる。このことは実際にはオイラー荷重によって座屈する前に弾塑性応力状態 B あるいは C に移行することを示すもので横荷重をうける場合の真の耐力はオイラー荷重では与えられないことを明示している。

(2) 応力状態 B

式(4)と式(11)とを等置すれば y_m と δ_0 の関係式が次式のごとくえらまる。

$$9 E y_m \left[\frac{h}{2} \left(\frac{\delta_y}{\delta_0} - 1 \right) - y_m - \frac{f h}{6} \left(\frac{\delta_y}{\delta_0} \right) \right]^2 - 2 \delta_0 h \left(\frac{\delta_y}{\delta_0} - 1 \right) \frac{l^2}{\pi^2} = 0 \quad (13)$$

限界軸応力 δ_0 およびその時のたわみ δ_y は $\delta_y = 6 \delta_0 / d$ かつ $d y_m = 0$ および式(13)よりえられる条件 $y_m \neq \frac{h}{2} \left(\frac{\delta_y}{\delta_0} - 1 \right) - \frac{f h}{6} \left(\frac{\delta_y}{\delta_0} \right)$ を用いて次式のごとくなる。

$$\begin{aligned} y_{mc} &= \frac{1}{3} \left[\frac{h}{2} \left(\frac{\delta_y}{\delta_0} - 1 \right) - \frac{f h}{6} \left(\frac{\delta_y}{\delta_0} \right) \right] \\ \delta_0 &= \frac{E \pi^2}{\lambda^2} \left[\frac{\frac{\delta_y}{\delta_0} - 1 - \frac{f}{3} \left(\frac{\delta_y}{\delta_0} \right)}{\frac{\delta_y}{\delta_0} - 1} \right] \end{aligned} \quad (14)$$

上式に $\delta = \delta_0 / \delta_y$ ($\delta_c = \delta_0 / \delta_y$) を代入して限界軸応力に対する限界細長比を求める

$$\lambda^2 = \frac{E \pi^2}{\delta_y \delta_c} \left[\frac{1 - \delta_c - 3/f}{1 - \delta_c} \right]^3 \quad (15)$$

式(15)の適用範囲は $0 \leq \delta_c \leq \delta_2$ の条件より $\delta_1, \delta_2 = 0.5 \{ 1 \pm \sqrt{1 - 4f/3} \}$ とおく
 $\delta_1 \leq \delta \leq \delta_2$ ただし $0 \leq f \leq 3/4$

(3) 応力状態 C

式(8)と式(11)とを等置することにより y_m と δ_0 の関係は次式となる

$$y_m \sqrt{\frac{\delta_y}{4 \delta_0} \left(1 - \frac{\delta_0}{\delta_y^2} \right) h - y_m - \frac{f}{6} \left(\frac{\delta_y}{\delta_0} \right) h - \frac{l^2}{\pi^2} \sqrt{\frac{\delta_y^3}{3 E h^2 \delta_0}} = 0 \quad (16)$$

限界軸応力かよびその時のたわみは $d \delta_0 / d y_m = 0$ より次式ごとくえらまる。

$$\begin{aligned} y_m &= \frac{h \delta_y}{6 \delta_0} \left(1 - \frac{\delta_0}{\delta_y^2} \right) - \frac{f}{9} \left(\frac{\delta_y}{\delta_0} \right) h \\ \lambda^2 &= \frac{E \pi^2}{\delta_c \delta_y} \sqrt{\left(1 - \frac{\delta_0^2}{\delta_y^2} - \frac{2}{3} f \right)^3} \end{aligned} \quad (17)$$

式(17)の適用範囲は $y_m > y_{II} > 0$ の条件より $\delta_3 = \sqrt{1 - 2f/3}$ とおく

$$0 \leq g \leq g_1 \text{ および } g_2 \leq g \leq g_3 \text{ ただし } 0 \leq f \leq 3/2$$

また横荷重が増大して $f \geq 3/4$ となると応力状態は C となり式(15)に代って式(17)が適用される。

III. 降伏軸応力

比較の意味で部材の中央奥が降伏するときの応力を求める降伏軸応力 σ_c を求めると以下のようになる。すなわち式(2)を境界条件 $x = 0 \Rightarrow y = 0$; $x = l \Rightarrow y = 0$ を用いて解くと中央奥のたわみは

$$y_m = -\frac{C_1 l}{C_1^2} \frac{\sin C_1 l / 2 + C_2 l}{2 C_1^2} \quad \left(C_1^2 = \frac{12 P}{b R^3 E}, C_2 = -\frac{6 w l}{b R^3 E} \right)$$

中央奥の圧縮繰り応力 σ_e は W を部材の断面係数とすると周知のごとく次式となる。

$$\sigma_e = P / A + M / W$$

$M = P y_m + W l^2 / 8$ および $\sigma_e = g_p$ とおけば細長比と σ_c の関係は次式のごとくなる。

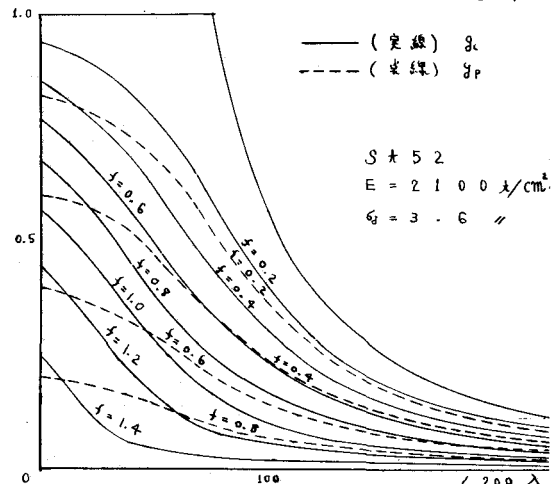
$$\lambda = 2 \sqrt{\frac{E}{g_p g_y}} \sec^{-1} \frac{(1 - g_p)}{f} \quad \left(g_p = \frac{6P}{6g_y} \right) \quad (18)$$

IV. 限界軸応力と細長比のグラフ

式(15)と式(17)を用いて与えられた横荷重および細長比に対する限界軸応力を直接求めることは可成り困難であるのでこれを図表化して適用に便ならしめた。以下のグラフは S 丸 5.2 の鋼材に対する与えられた横荷重係数 α における限界軸応力 σ_c 、細長比入の関係である。

結語 以上の考察より等分布横荷重および細長比が限界軸荷重におよぼす影響を簡単に求めることができとなり、また中央集中横荷重 Q に対しても以上の計算法がそのまま適用でき、式(15), (17)における横荷重係数 $\alpha = Q / Q_0$ ($Q_0 = 4 b t^2 / 15$ 入) 中央集中横荷重のみにより部材の中央奥が降伏するときの荷重を表す) とあればよい。なお横荷重係数 α に対する実際の横荷重の大きさを w または Q は与えられた限界軸荷重に対する細長比および断面の大きさ b, t を用いて計算之れこれを図表化すれば逆に与えられた横荷重 w , Q に対する適当な α , σ_c , 入れ求めることになる。

図-7



参考文献

- (1) K. Ježek "Näherungsberechnung der Tragfähigkeit exzentrisch gedrückter Stahlstäbe" Stahlbau 1935
- (2) K. Ježek "Die Tragfähigkeit des gleichmäßig querbelasteten Druckstabes aus einem ideal-plastischen Stahlbau" Stahlbau 1935